

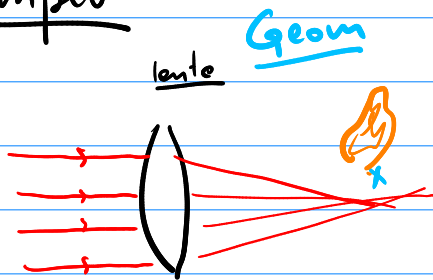
Práctica 12 - Óptica

Veremos: → óptica geométrica → ley reflexión
→ ley refracción (Snell)

→ interferencia (ondulatoria)

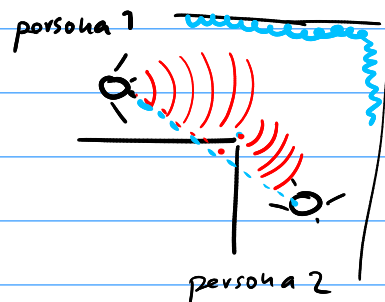
Un poco confuso: luz → como rayos: opt geométrica
→ como ondas: opt ondulatoria

Ejemplo



Rayos convergen en un punto

por qué escucho a alguien en cuando el corredor dobla?



Recordemos:

• onda EM plana: $\vec{E} = E_0 \cos(\omega t - kz) \hat{x}$
 $\vec{B} = B_0 \cos(\omega t - kz) \hat{y}$

$\omega = ck$, $\omega = 2\pi f = 2\pi \frac{1}{T}$, $k = \frac{2\pi}{\lambda}$, $E_0 = c B_0$

$\vec{E} \times \vec{B}$ apunta en dir de propagación (+z)

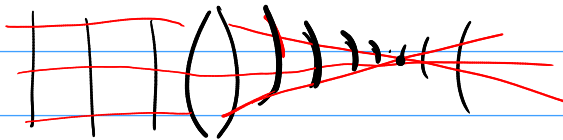
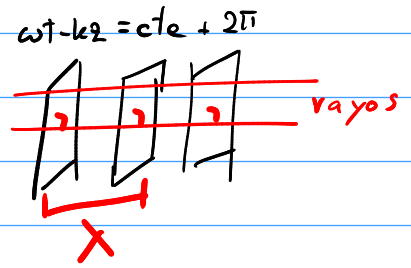
ondas planas

$|\vec{E}| = c |\vec{B}|$

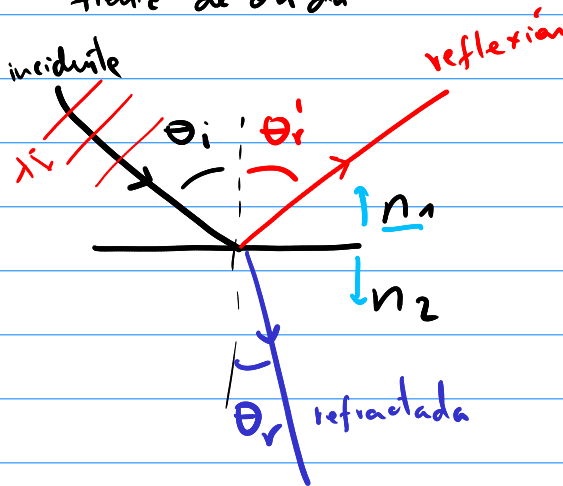
$c = \lambda f$

Óptica geométrica

Rayos: normales a frente de ondas



Lente "deforma" frente de onda



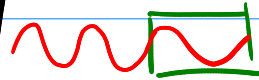
$c_{vacio} = \frac{1}{\sqrt{\epsilon_0 \mu_0}}$

Índice de refracción (n)

$$c_{mat} = \frac{c_{vacio}}{n}, n \geq 1$$

$f(\omega)$ no cambia en material

$$\lambda_{mat} = \frac{\lambda_{vacio}}{n}$$



vidrio: $n \approx 1,5$

agua: $n \approx 1,33$

diamante: $n \approx 2,5$

Ley reflexión: $\theta_r = \theta_i$

Ley refracción: $n_1 \sin \theta_i = n_2 \sin \theta_r$

$n_2(\lambda)$ $\theta_r(\lambda)$

Aplicaciones

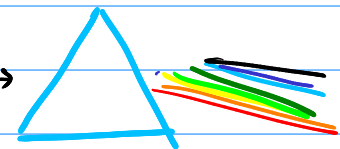


Dispersión

$n_1 = 1$

luz blanca

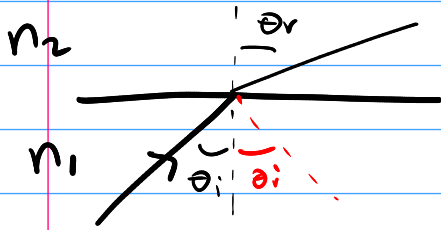
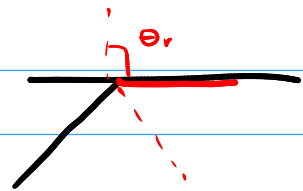
"muchas componentes"



$n(\lambda)$

$\theta_r(\lambda)$

Reflexión interna total



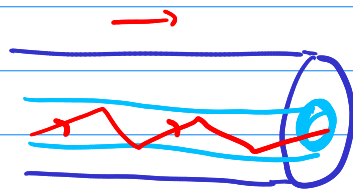
$$\sin \theta_r = \frac{n_1}{n_2} \sin \theta_i$$

Si $n_1 > n_2 \Rightarrow \sin \theta_r \geq 1$
para $\theta_r \geq \theta_c$

\Rightarrow No hay refracción

Ejemplo

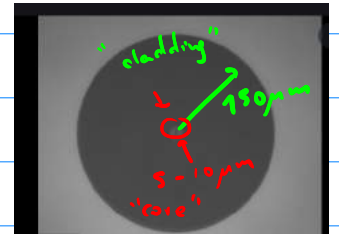
Fibras ópticas



$$n_{in} > n_{out}$$

(vidrios)

\Rightarrow base de telecomunicaciones moderna

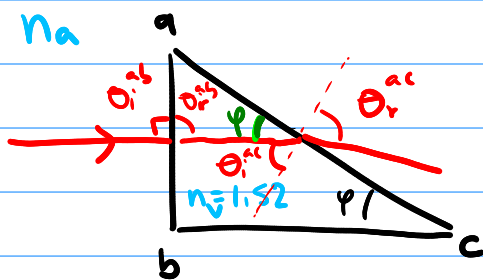
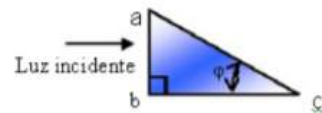


Ejercicios

Ejercicio 4 Un rayo de luz incide normalmente sobre la cara ab de un prisma de vidrio ($n = 1,52$), tal como se muestra en la figura.

a) Suponiendo que el prisma está inmerso en aire, halle el valor del ángulo máximo φ para el cual el rayo se refleja totalmente en la cara ac .

b) Halle φ si el prisma se encuentra inmerso en agua ($n = 1,33$)



$$n_v > n_a \quad (n_a \approx 1)$$

$$n_v \sin \theta_i^{ac} = n_a \sin \theta_r^{ac}$$

$$\theta_i^{ac} \text{ critica} / \theta_r^{ac} = 90^\circ$$

$$\rightarrow \sin \theta_r^{ac} = 1 \text{ refl. interna total}$$

$$\theta_i^{ac} = \frac{\pi}{2} - \varphi \quad \sin \theta_i^{ac} = \cos \varphi$$

$$n_v \cos \varphi = n_a \Rightarrow \boxed{\cos \varphi = \frac{n_a}{n_v}}$$

Cara ab : $\theta_i^{ab} = 0$

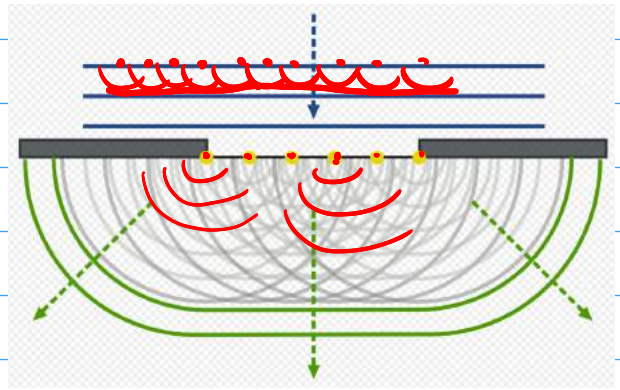
$$n_a \sin \theta_i^{ab} = n_v \sin \theta_r^{ab}$$

$$\Rightarrow \theta_r^{ab} = 0$$

Interferencia

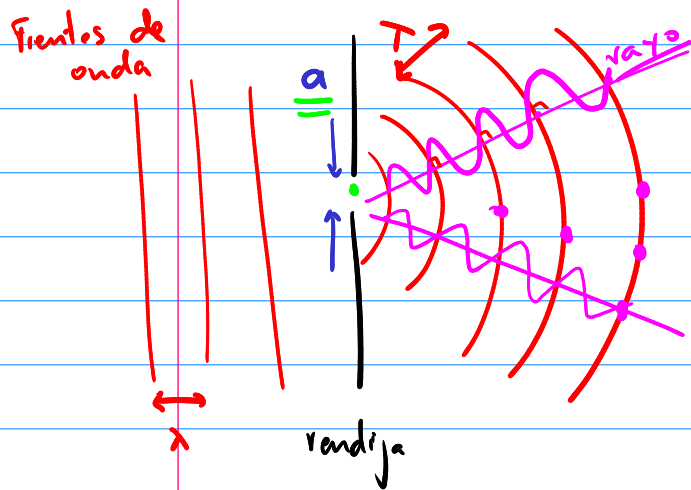
Principio de Huygens:

un frente de ondas es superposición de emisores esféricos. **en fase**



distancia entre frentes de onda = λ

Frentes de onda = lugar geom de fase etc



$a \ll \lambda$ (rendija es fuente puntual)

↑ solo emisor

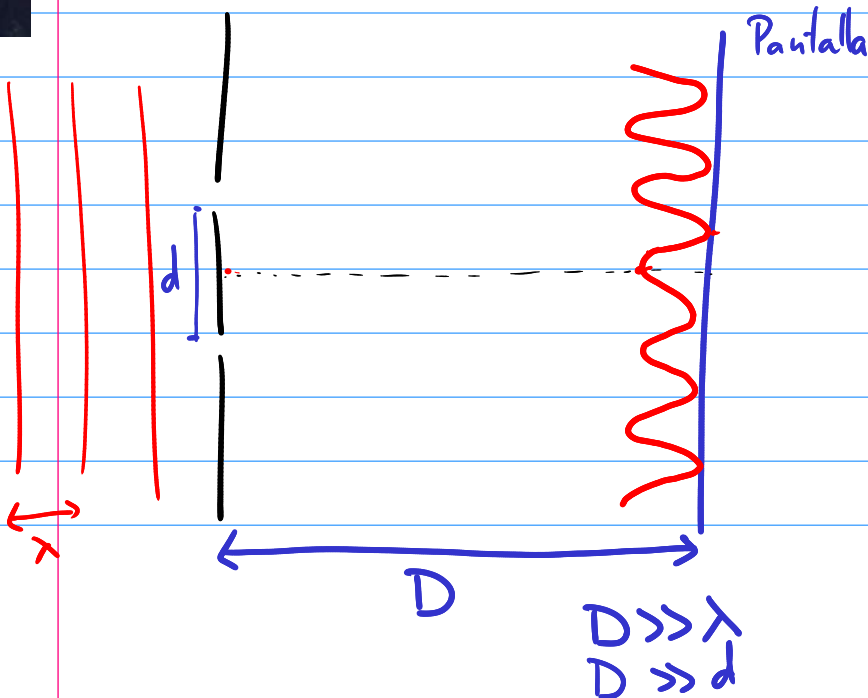
- Ondas:
- ondas en cuerdas, barras, etc
 - sonido
 - ondas superficiales en fluidos



Experimento de Young



1801



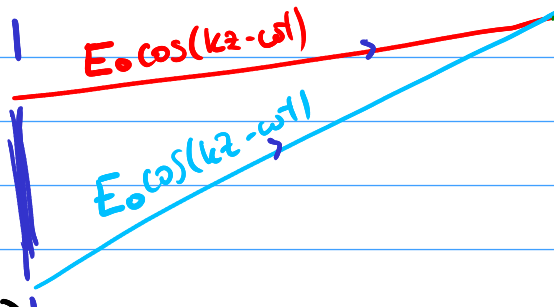
¿Qué se observa?



En pantalla:

I ? Intensidad de ρ_2

$$\bar{I} = |\bar{S}| \propto |E_0|^2$$



$$\left. \begin{array}{l} I_1 \propto |E_1|^2 \\ I_2 \propto |E_2|^2 \end{array} \right\}$$

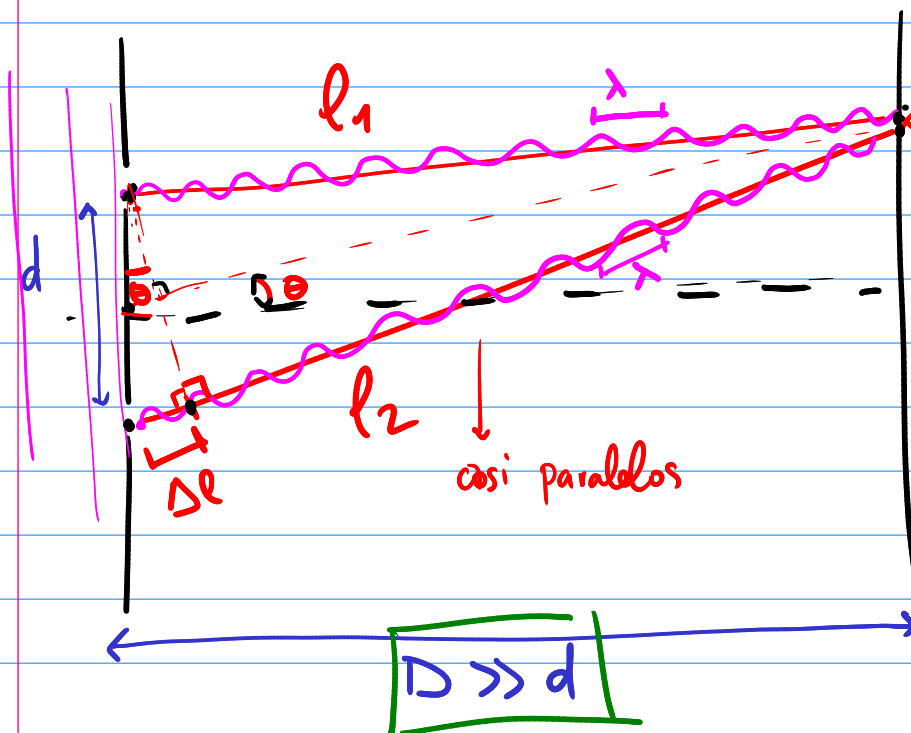
$$I_{Tot} \stackrel{?}{=} I_1 + I_2 \propto 2|E_0|^2 \text{ Es esto así?}$$

NO!!

No!! Ppio de superposición: $\vec{E}_{TOT} = \sum_i \vec{E}_i$
 en algunos puntos

$$\rightarrow I_{Tot} \propto |\vec{E}_{TOT}|^2 = |\vec{E}_0 + \vec{E}_0|^2 \propto \underline{4|E_0|^2}$$

$$\boxed{I_{Tot} = 4I_1}$$

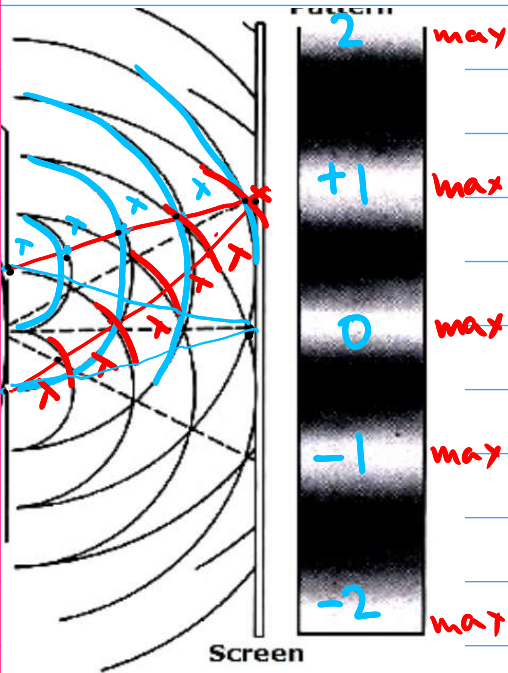


$$\Delta l = l_2 - l_1$$

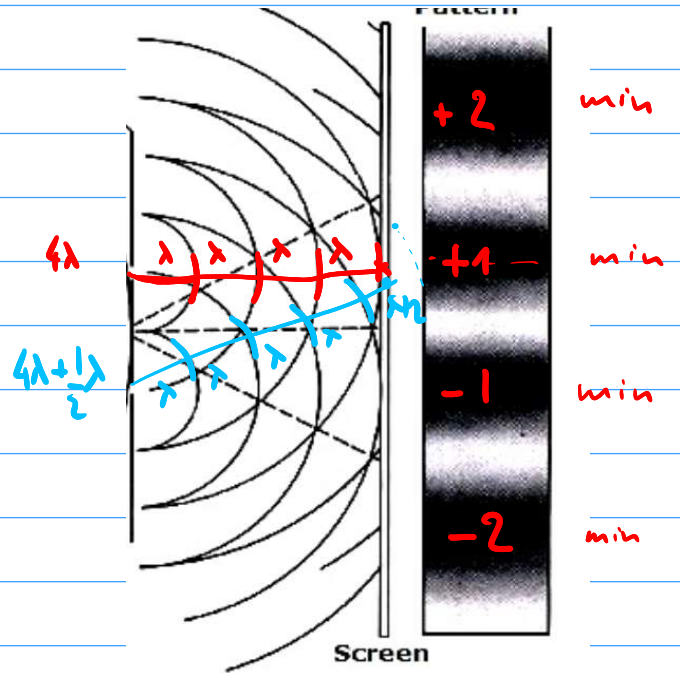
$$\frac{\Delta l}{d} = \text{sen } \theta$$

$$\boxed{\Delta l = d \text{ sen } \theta}$$

Interferencia constructiva



Interferencia destructiva



$\Delta l = 5\lambda - 4\lambda$ Máximos

Mínimos

$\Delta l = m\lambda, m \in \mathbb{Z}$

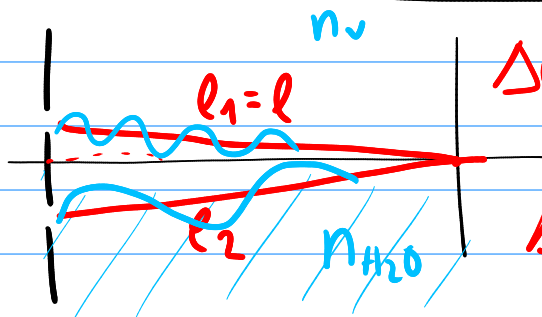
$\Delta l = (m + \frac{1}{2})\lambda, m \in \mathbb{Z}$

$\Delta l = d \sin \theta_{\max} = m\lambda$

$d \sin \theta_{\min} = (m + \frac{1}{2})\lambda$

$m = 0, \pm 1, \pm 2, \dots$

$m = \pm 1, \pm 2, \dots$



$\Delta l = l_2 - l_1 = l - l = 0$

$\Delta l = n_{H_2O} l - n_v l \neq m\lambda$

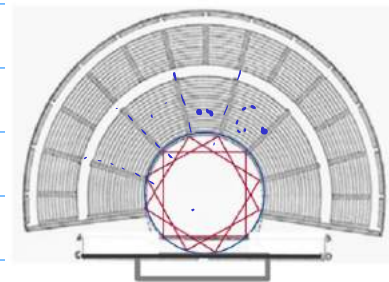
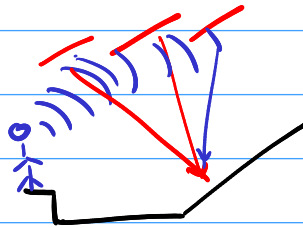
Nota :

$l_{\text{óptico}} = n \quad l_{\text{geom}}$

$\Delta l_{\text{óptico}} = \begin{cases} m\lambda & \text{máx} \\ (m + \frac{1}{2})\lambda & \text{mín} \end{cases}$

Interferencia en ingeniería

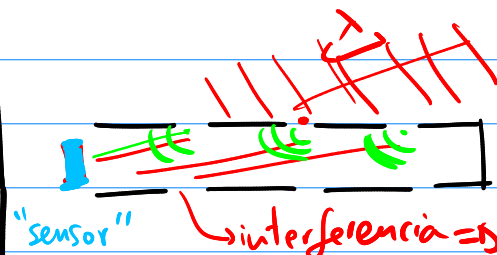
Acústica en teatros / cines



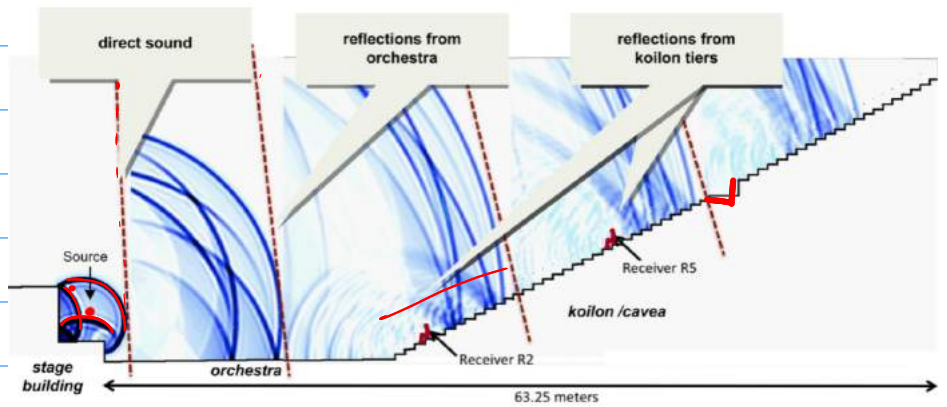
classical Greek
amphitheatric
circa 450 BC

Micrófono direccional

Cancha del Maoso, 1980



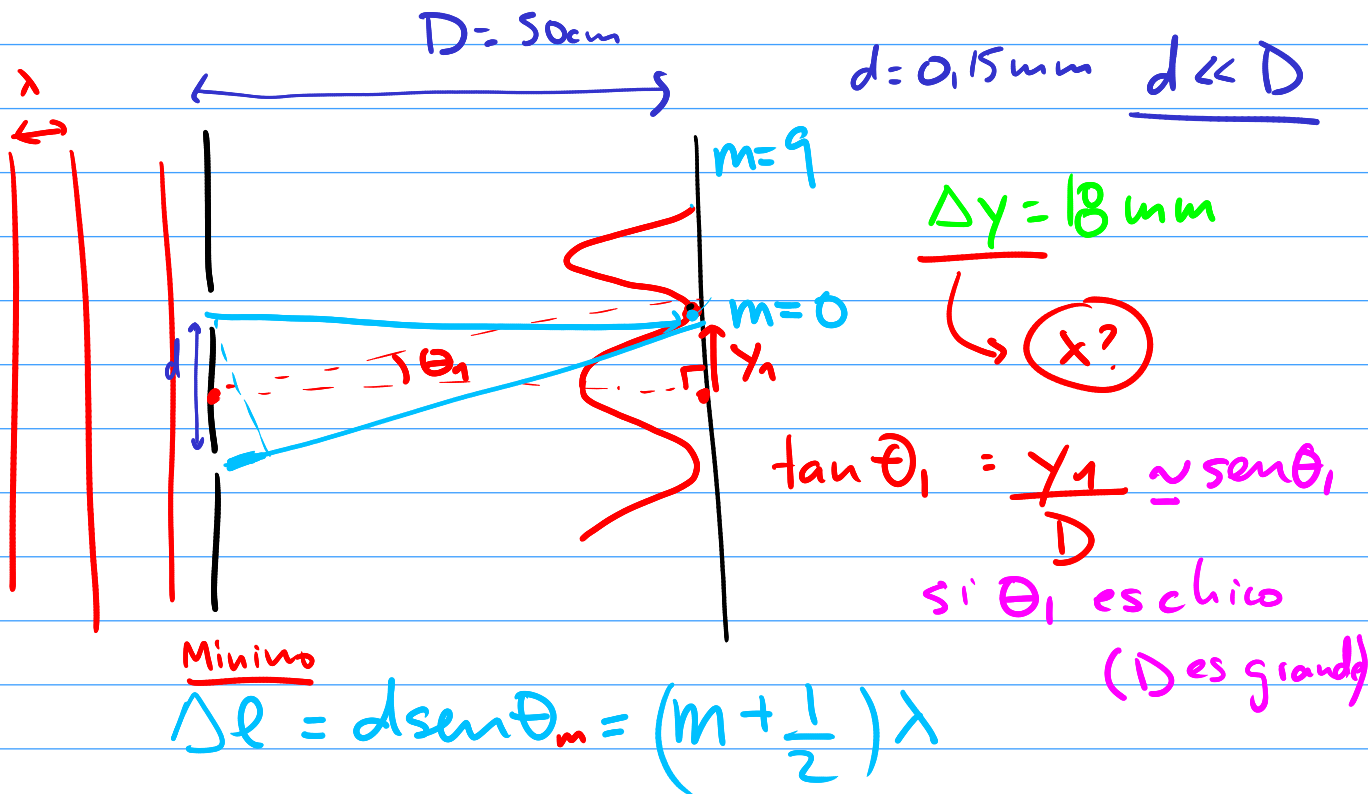
"sensor" \rightarrow interferencia \Rightarrow Dependencia con "ángulos"



ric

Ejercicios

Ejercicio 6 La distancia entre el primer y el décimo mínimo del patrón de interferencia de dos rendijas (iluminadas por una onda monocromática plana) es de 18mm. Las rendijas están separadas 0,15mm, y la pantalla está a 50cm de las rendijas. Cuál es la longitud de onda de la luz empleada?



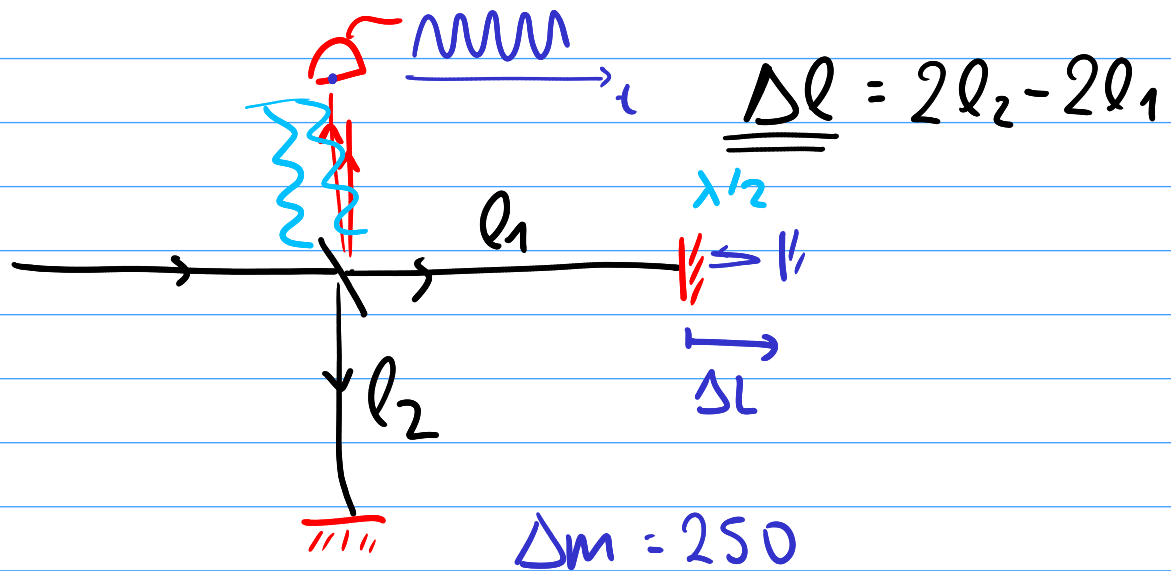
$$d \sin \theta_1 = \left(m_1 + \frac{1}{2}\right) \lambda$$

$$\boxed{d \frac{y_1}{D} = \left(m_1 + \frac{1}{2}\right) \lambda} \Rightarrow \boxed{y_m = \frac{\lambda D}{d} \left(m + \frac{1}{2}\right)}$$

$$\boxed{\Delta y = y_{m=9} - y_{m=0} = \frac{\lambda D}{d} \left[\left(9 + \frac{1}{2}\right) - \left(0 + \frac{1}{2}\right) \right] = \frac{\lambda D 9}{d}}$$

$$\boxed{\lambda = \frac{\Delta y d}{D 9}}$$

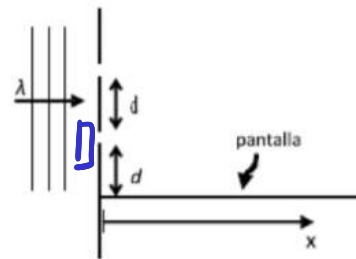
Ejercicio 10 El espejo en uno de los brazos de un interferómetro de Michelson se desplaza una distancia ΔL . Durante el desplazamiento se cuentan 250 corrimientos de franjas (sucesiones de franjas oscuras y brillantes). Si la luz utilizada tiene una longitud de onda de $632,8nm$, calcule el desplazamiento ΔL .



$$2 \Delta L = \Delta m \lambda$$

$$\Delta L = \frac{\Delta m \lambda}{2}$$

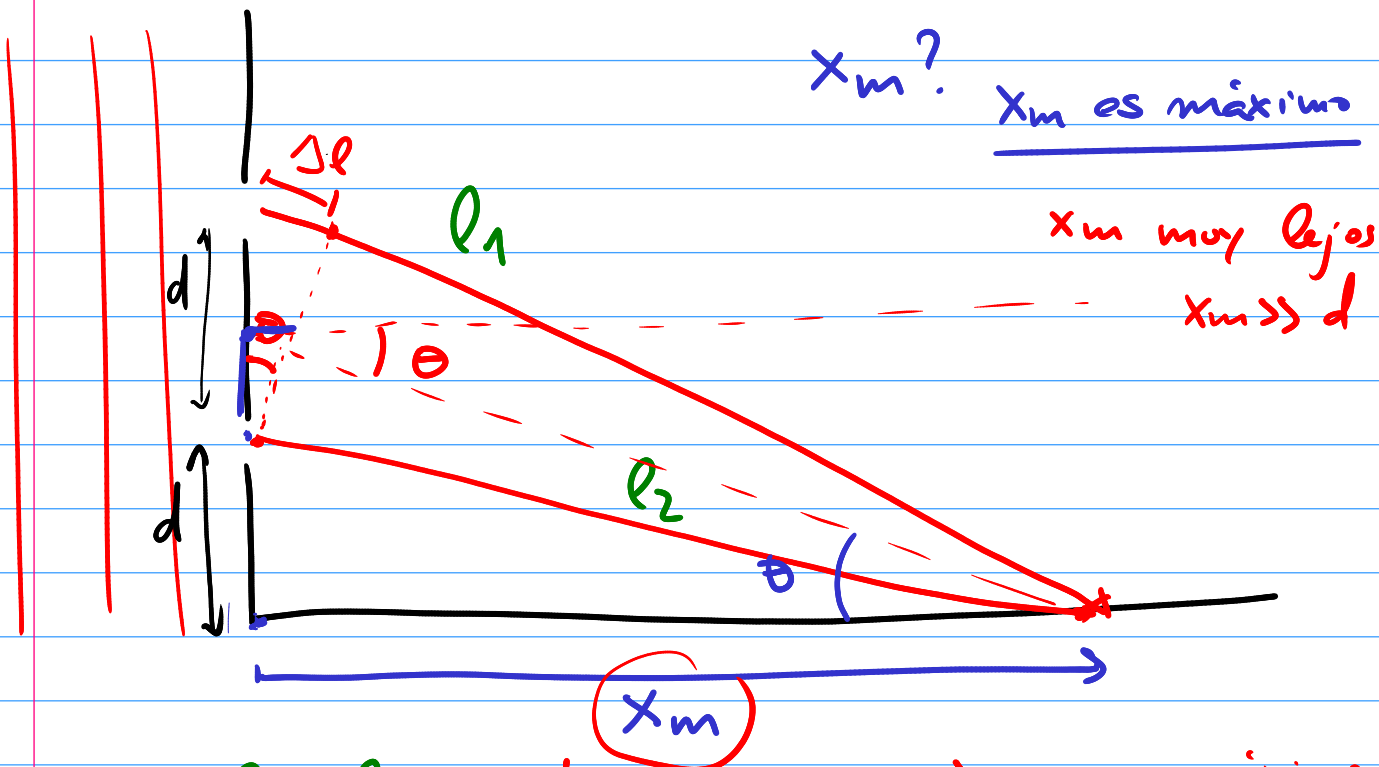
Ejercicio 12 (Seg. parcial Seg. semestre 2009) Una onda plana monocromática de longitud de onda λ incide normalmente sobre una pared en la cual existen 2 rendijas separadas una distancia d . Perpendicularmente a la pared se coloca una pantalla a una distancia d de la rendija inferior, como muestra la figura.



a) Hallar x_m , posición de los máximos de intensidad sobre la pantalla, suponiendo $x \gg d$.

b) Sobre la rendija inferior se coloca una hoja delgada de un material transparente, de espesor 3λ (siendo λ la longitud de onda en el vacío) e índice de refracción $n = 1.5$. La hoja cubre completamente la rendija. Halle la nueva expresión de x_m .

c) En la configuración original (sin la hoja transparente) determine cuál debe ser el mínimo valor de d para que en la pantalla se vean por lo menos 3 máximos de intensidad, sin considerar el máximo de orden cero en el infinito.

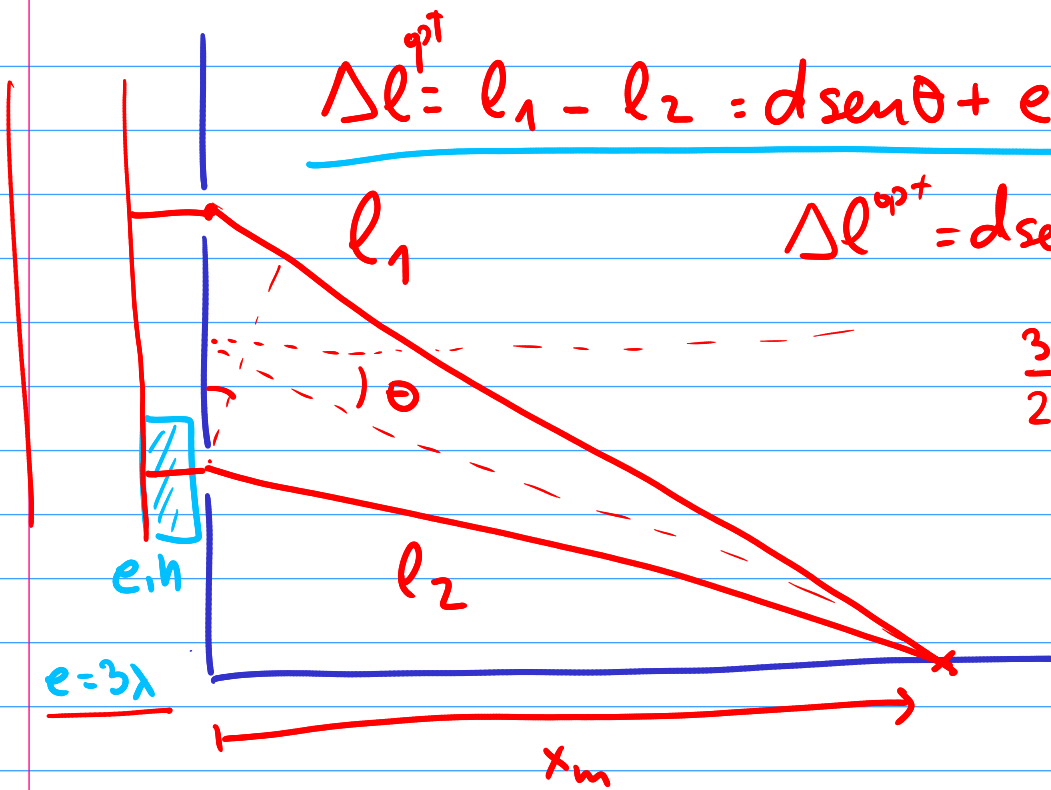


x_m ? x_m es máximo
 x_m muy lejos
 $x_m \gg d$

$$\Delta l = l_1 - l_2 = d \sin \theta = m \lambda \quad \text{es máximo}$$

$$\tan \theta = \frac{3d}{2} / x_m = \frac{3d}{2x_m} \approx \sin \theta$$

$$d \sin \theta \approx d \tan \theta = d \cdot \frac{3d}{2x_m} = m \lambda \Rightarrow \boxed{x_m = \frac{3d^2}{2m\lambda}}$$



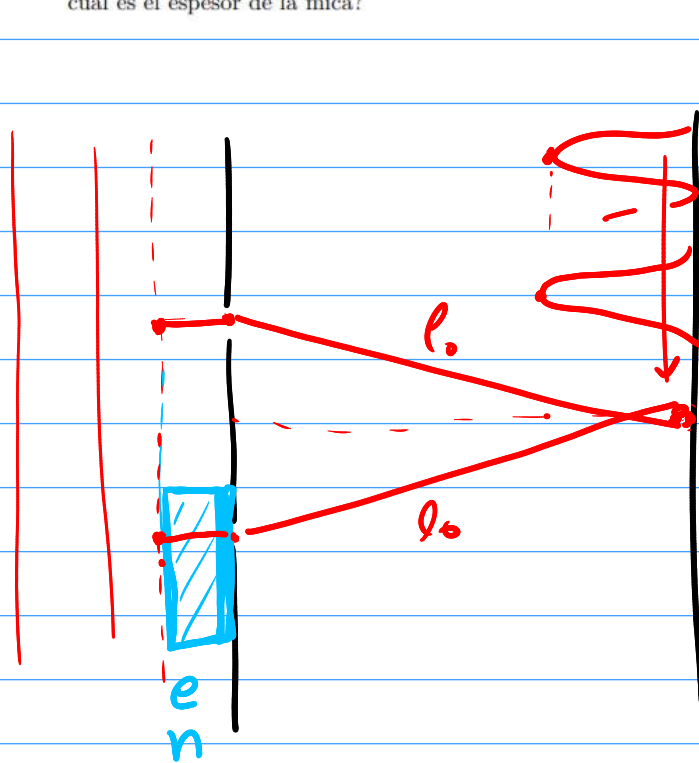
$$\Delta l^{\text{opt}} = l_1 - l_2 = d \sin \theta + e - en$$

$$\Delta l^{\text{opt}} = d \sin \theta + e(1-n)$$

$$\frac{3d}{2x_m}$$

$$\Delta l^{\text{opt}} = m \lambda = \frac{3d^2}{2x_m} + e(1-n) \Rightarrow x_m$$

Ejercicio 8 Se usa una hoja delgada de mica ($n = 1,58$) para cubrir una rendija de un interferómetro de Young. El punto central en la pantalla está ocupado por lo que era la séptima franja brillante. Si $\lambda = 550\text{nm}$, cuál es el espesor de la mica?



Sin mica:

$$\Delta l = m_7 \cdot \lambda$$

Con mica

$$\Delta l = l_{\text{abajo}} - l_{\text{arriba}}$$

"ópticos"

$$\left. \begin{aligned} l_{\text{abajo}} &= n \cdot e + l_0 \cdot 1 \\ l_{\text{arriba}} &= 1 \cdot e + l_0 \cdot 1 \end{aligned} \right\} \Rightarrow \Delta l^{\text{óptico}} = l_{\text{abajo}} - l_{\text{arriba}}$$

$$\Delta l^{\text{óptico}} = (ne + l_0) - (e + l_0) = \underline{(n-1)e}$$

$$\Delta l^{\text{óptico}} = \underline{m_7 \lambda_{\text{vacío}}} = \underline{(n-1)e}$$

$$e = \frac{7 \cdot \lambda_{\text{vacío}}}{n-1}$$